

บทที่ 2

ทฤษฎีที่เกี่ยวข้อง

2.1) การทบทวนวรรณกรรม

Yanagihara, Okamoto, Mitsui [7] ชาวญี่ปุ่น ได้ให้ความสนใจในการพัฒนาหุ่นยนต์ที่ใช้ช่วยในการผ่าตัดแทนที่ข้อต่อของสะโพก โดยให้มีแผลเปิดที่ขนาดเล็ก เนื่องจากเครื่องมือผ่าตัดจะทำให้เกิดการบอบซ้ำของเนื้อเยื่อภายในน้อยที่สุด ทั้งยังจะหลีกเลี่ยงไม่ไปกระทบกับเส้นเอ็น, เส้นประสาทภายในร่างกาย ถ้าไม่มีการใช้หุ่นยนต์มาช่วยในการผ่าตัด แผลเปิดจะใหญ่ซึ่งผู้ป่วยจะใช้เวลาในการพักฟื้นนาน แต่ทว่าก่อนที่จะทำการผ่าตัดข้อต่อที่สะโพก จะต้องทำการชูดเนื้อเยื่อที่หุ้มลูกสะบ้าออกเสียก่อน ซึ่งเนื้อเยื่อส่วนนี้ค่อนข้างแข็ง ดังนั้นหุ่นยนต์ที่ถูกออกแบบจะเป็นหุ่นยนต์ที่ใช้ชูดเนื้อเยื่อบริเวณนี้ออกก่อนที่จะทำการผ่าตัดเพื่อแทนที่ข้อต่อของสะโพก หุ่นยนต์ประเภทนี้ต้องสามารถควบคุมความเร็ว, ตำแหน่ง, และแรงที่ใช้ในการชูดเนื้อเยื่อออกได้อย่างแม่นยำ Yanagihara และคณะได้ใช้ระบบสายพานซึ่งมีความยืดหยุ่นกับหุ่นยนต์ขนาดเล็กนี้โดยวัดตำแหน่งด้วยเซนเซอร์วัดแรงดึงในสายพาน ความยืดหยุ่นจะช่วยในการควบคุมแรง Kazanzides, Zuhars, Mittelstadt, Taylor [5] ใช้เทคนิคการควบคุม Damping เพื่อให้ได้แรงที่สัมพันธ์กับความเร็วตามเส้นทางที่กำหนดของปลายแขนหุ่นยนต์แบบ SCARA ใน 5 แกน เพื่อใช้ในการผ่าตัดเปลี่ยนสะโพกเช่นเดียวกัน

อีกตัวอย่างหนึ่ง Du, Huang, Tian, Liu [4] ได้ทำการศึกษาในเรื่องการใช้แขนหุ่นยนต์ในการฉายรังสีเนื้องอกมะเร็งในตับโดยให้มีแผลเล็ก ที่ใช้ภาพถ่ายจาก Ultrasonic มาช่วยบ่งบอกตำแหน่งของเนื้องอกมะเร็งในตับ ประเภทแขนหุ่นยนต์ที่ใช้เป็นแบบ SCARA โดยมีปลายแขนติดกับข้อมือที่มีอุปกรณ์ช่วยในการผ่าตัดหรือฉายรังสีที่มะเร็ง โดยจะไม่ไปทำลายเนื้อเยื่อส่วนอื่นๆ เช่นเดียวกันแขนหุ่นยนต์จะถูกควบคุมความเร็ว ตำแหน่ง และทิศทางในการเคลื่อนที่ รวมทั้งแรงที่กระทำบนเนื้อเยื่อ

กระบวนการของ Master-Slave หรือ การควบคุมแขนหุ่นยนต์ที่ใช้ในการผ่าตัดจริงโดยการควบคุมแขนหุ่นยนต์ขนาดเล็กโดยแพทย์ผู้เชี่ยวชาญในการผ่าตัด Sabatini, Bergamasco, Dario [6] ได้ทำการพัฒนาหุ่นยนต์ประเภท Master-Slave แบบ 4 แกนขึ้นมาใช้ในการผ่าตัดเนื้อเยื่ออ่อนนุ่ม โดยการวัดแรงจากใบมีดที่กระทำบนเนื้อเยื่อโดยใช้ Strain-gauge และใช้ optical encoders ร่วมกับ Strain gauge ในการวัดองศาการเคลื่อนที่และแรงบิดในแต่ละข้อต่อของแขนหุ่นยนต์ เพื่อให้ได้ตำแหน่งที่ปลายแขนหุ่นยนต์ที่แน่นอน ในที่นี้ผู้ปฏิบัติการจะควบคุมตำแหน่งและแรงของปลายแขนหุ่นยนต์ผ่าตัดผ่าน Joystick ถ้าแรงที่ให้กับ Joystick มีค่ามากกว่าที่กำหนดไว้ ระบบควบคุมจะปรับแรงให้มีค่าเท่ากับแรงสูงสุดที่ตั้งไว้เพื่อป้องกันการทำลายเนื้อเยื่อ

การออกแบบแขนหุ่นยนต์ที่สามารถเคลื่อนที่ได้ใน 6 แกน นั้นจะต้องคำนึงถึงตำแหน่งของมอเตอร์ที่จะติดตั้งเพื่อใช้ในการขับเคลื่อนแต่ละ Links เพื่อที่จะหลีกเลี่ยงการใช้มอเตอร์ที่ใหญ่เกินความจำเป็น ซึ่งจะส่งผลให้แขนหุ่นยนต์มีน้ำหนักเบาและมีโมเมนต์ความเฉื่อยน้อย และตำแหน่งของมอเตอร์ควรจะมีค่าสมมาตรในแนวระนาบ xy ดังในรูปที่ 1 ซึ่งจะมีข้อดีคือ จะไม่ทำให้เกิดโมเมนต์ที่มีค่ามากรอบ

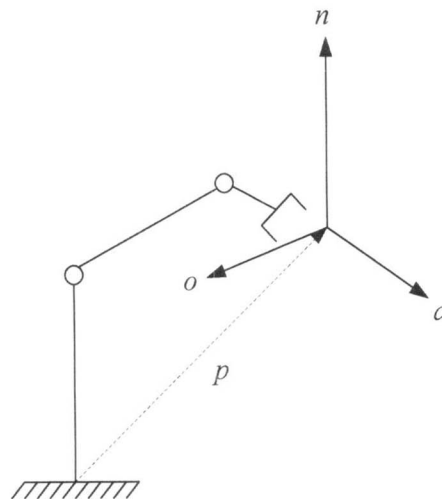
ฐาน (Trunk) ของแขนหุ่นยนต์ ในรูปที่ 1 แสดงแขนหุ่นยนต์แบบ PUMA 600 [1] ที่สามารถเคลื่อนที่ได้ใน 6 แกน ซึ่งแสดงในระบบพิกัด Cartesian ของแกนที่ 1 (x_1, y_1, z_1) ถึงแกนที่ 6 (x_6, y_6, z_6) ในรูปนี้แกนที่ 1 ถึง 5 เป็น Revolute joints ส่วนแกนที่ 6 เป็น Prismatic joint ในที่นี้มอเตอร์ของแกนที่ 1, 2, และ 3 จะอยู่ในระนาบเดียวกัน

2.2) จลนศาสตร์ (Kinematics)

จลนศาสตร์ (Kinematics) เป็นการศึกษาถึงตำแหน่ง (position) ความเร็ว (velocity) และความเร่ง (acceleration) ของจุดๆใดจุดหนึ่ง รวมถึงความเร็วเชิงมุม (angular velocity) และความเร่งเชิงมุม (angular acceleration) ของวัตถุ ซึ่งคุณสมบัติเหล่านี้จำเป็นที่จะใช้อธิบายถึงลักษณะของวัตถุแข็งเกร็ง (rigid body) ตำแหน่งของวัตถุสามารถบอกได้จากตำแหน่งของจุดที่อยู่บนวัตถุ ประกอบกับตำแหน่งเชิงมุม (angular position) ของวัตถุนั้น

หุ่นยนต์หรือแขนกลในทางจลนศาสตร์นั้นประกอบขึ้นมาจากการประกอบหรือการต่อกันของก้านโยง ซึ่งประมาณว่าก้านโยงนั้นมีคุณสมบัติเป็นวัตถุแข็งเกร็ง คือ มีการเปลี่ยนแปลงรูปร่างเมื่อมีสิ่งใดมากระทำ การต่อกันของแต่ละก้านโยงนั้นมีหลายวิธีซึ่งในการนำมาต่อกันนั้นเรียกได้ว่าเป็นจลนศาสตร์ลูกโซ่ ประกอบด้วยส่วนสำคัญ 2 ส่วน คือ ก้านโยง และข้อต่อ

การบอกตำแหน่ง และการหมุนของปลายแขนกล (End effector) สามารถแสดงอยู่ในรูปของการบอกตำแหน่งด้วยเวกเตอร์ p และการหมุนด้วย (n, o, a)



รูปที่ 2.1 ตำแหน่งและทิศทางของปลายแขนหุ่นยนต์ [1]

ส่วนประกอบทั้งสามกำหนดขึ้นในระบบพิกัดตามแกนคาร์ทีเซียนที่ยึดติดอยู่กับฐาน (fixed Cartesian frame at the base) ของหุ่นยนต์ โดยที่เวกเตอร์ a คือเวกเตอร์มีขนาดหนึ่งหน่วยมีทิศทางเคลื่อนที่พุ่งเข้าไปหาวัตถุ ส่วนเวกเตอร์ o มีทิศทางตามนิ้วชี้ขึ้นงานสองนิ้ว ในที่นี้คือ มีทิศทางตามจุดปลายทั้งสอง

ของนิ้วสองนิ้ว และเวกเตอร์ \mathbf{n} คือ เวกเตอร์ที่ตั้งฉาก โดยเวกเตอร์ทั้งหมดนี้เป็นไปตามกฎมือขวา คือ $\mathbf{n} = \mathbf{o} \times \mathbf{a}$

a

2.3) กระบวนการแปลงพิกัด (Transformation operators)

เป็นการบอกถึงการหมุนของวัตถุในสามมิติ และเพิ่มการบอกตำแหน่งพิกัดเข้าไป 1 คอลัมน์ โดยเมตริกซ์ที่ได้มีขนาด 4×4 มีลักษณะดังสมการ

$$T_{NA} = \begin{bmatrix} \text{Rotation}_{3 \times 3} & \text{Translation}_{3 \times 1} \\ 0 & 0 & 0 & 1 \end{bmatrix} = \begin{bmatrix} R & \vdots & P \\ \dots & \dots & \dots \\ 0 & 0 & 0 & \vdots & 1 \end{bmatrix}$$

โดย N คือ แกนอ้างอิงเริ่มต้น และ A คือ แกนอ้างอิงสุดท้าย เช่น วัตถุมีการหมุนรอบแกน x_0 เป็นมุม θ และเลื่อนไปยังตำแหน่ง $(1, 1, 0)$ ที่ตำแหน่งของแกนอ้างอิงที่ 1 สามารถเขียนได้ดังนี้

$$T_{NA} = \begin{bmatrix} 1 & 0 & 0 & 1 \\ 0 & \cos(\theta) & -\sin(\theta) & 1 \\ 0 & \sin(\theta) & \cos(\theta) & 0 \\ 0 & 0 & 0 & 1 \end{bmatrix}$$

ในการทำงานเดียวกัน Transformation operator's นี้มีคุณสมบัติคล้ายกับเมตริกซ์การหมุน (Rotation matrix) คือ สามารถนำมาต่อกัน สำหรับกรณีที่มีการเคลื่อนย้ายวัตถุในหลาย ๆ แกนอ้างอิง เช่น

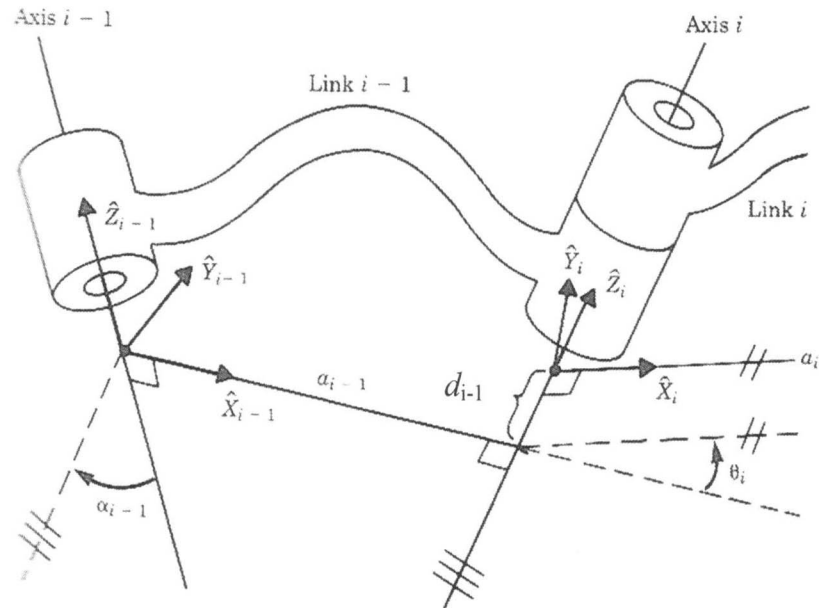
$$T_{03} = T_{01} T_{12} T_{23}$$

โดยที่แสดงถึง T_{03} เมตริกซ์การหมุนสามารถอ้างอิงได้จากแกนอ้างอิงที่ 0 ไปยังแกนอ้างอิงที่ 1 ไปยังแกนอ้างอิงที่ 2 และแกนอ้างอิงที่ 3 ในการคำนวณหาแกนอ้างอิงจากแกนที่ 0 ไปยังแกนที่ 2 ได้คือ

$$T_{02} = T_{01} T_{12}$$

2.4) ตัวแปรแบบ Denavit – Hartenberg

การสร้างแขนกลโดยทั่วไปนั้นมักประกอบไปด้วยก้านโยงที่ต่อกันแบบอนุกรมด้วยข้อต่อ จากนั้นจะกำหนดแกนอ้างอิงที่ติดกับวัตถุ (Body fixed coordinate) ในแต่ละก้านโยง เพื่อคำนวณการเปลี่ยนแกนอ้างอิงจากแต่ละก้านโยงยังปลายสุดท้าย หรือจุดปลายของแขนกล โดยทั่วไปมักเป็นมือที่ใช้จับชิ้นงาน จาก การคำนวณนี้สามารถบอกได้ว่าตำแหน่งใดในระนาบสามมิติ วิธีที่ยอมรับวิธีหนึ่ง ได้แก่ Denavit-Hartenberg notation หรือใช้ตัวย่อเรียกสั้น ๆ ว่า D-H notation จากรูปบอกถึงพารามิเตอร์ต่าง ๆ ใน D-H parameters ในกรณีของข้อต่อแบบหมุน (R: revolute joint) ตัวแปรที่เปลี่ยนแปลง (variable) คือ มุม θ โดยระยะ d คงที่



รูปที่ 2.2 D-H notation for revolute joints [4]

โดยที่นิยามของตัวแปร มีดังนี้

a_i = ระยะจากแกน \hat{z}_i ถึงแกน \hat{z}_{i+1} วัดตามแนวแกน \hat{x}_i

α_i = มุมระหว่างแกน \hat{z}_i ถึงแกน \hat{z}_{i+1} วัดตามแนวแกน \hat{x}_i

d_{i-1} = ระยะจากแกน \hat{x}_{i-1} ถึงแกน \hat{x}_i วัดตามแนวแกน \hat{z}_i

θ_i = มุมระหว่างแกน \hat{z}_i ถึงแกน \hat{x}_i หมุนรอบแกน \hat{z}_i

วิธีการกำหนดแกนมีดังนี้

1. เริ่มจากที่ฐานกำหนดแกนอ้างอิงเป็น 0 ร่วมกับแกนอ้างอิงหลัก (world coordinate frame)
2. กำหนดแกนในแต่ละแกนโยง ตามกฎมือขวาโดยแกนหมุนเป็นแกนเริ่มต้นที่ 0 เช่น ในส่วนของข้อต่อแบบหมุน
3. กำหนดแกนของก้านโยง ถัดไปให้ดูตามแกนการหมุน โดยให้แกนนั้นเป็นแกน Z_1
4. ทิศทางของแกน หาได้โดยได้มาจากผลลัพธ์ของ cross product $Z_0 \times Z_1$ แกนแต่ละแกนจะถูกกำหนดที่ส่วนปลายของข้อต่อ (distal joint) ของก้านโยง
5. กรณีมีระยะออฟเซตจะมีระยะ d_i หรือถ้าไม่มี $d_i = 0$
6. แกน z อยู่ร่วมในแนวเดียวกับแกนการหมุน

เมตริกซ์ Transformation จากแกน i-1 ไปยังแกน i ในรูปของ D-H notation สามารถเขียนอยู่ในเมตริกซ์ดังในสมการที่ (1)

$$T_i^{i-1} = \begin{bmatrix} \cos(\theta_i) & -\sin(\theta_i) & 0 & a_{i-1} \\ \sin(\theta_i)\cos(\alpha_{i-1}) & \cos(\theta_i)\cos(\alpha_{i-1}) & -\sin(\alpha_{i-1}) & -\sin(\alpha_{i-1})d_i \\ \sin(\theta_i)\sin(\alpha_{i-1}) & \cos(\theta_i)\sin(\alpha_{i-1}) & \cos(\alpha_{i-1}) & \cos(\alpha_{i-1})d_i \\ 0 & 0 & 0 & 1 \end{bmatrix} \quad (1)$$

Jacobian นั้นมีนิยามเป็นความสัมพันธ์ทางจลศาสตร์เชิงอนุพันธ์หลายมิติระหว่างตัวแปร X และ Y สมมุติว่ามีฟังก์ชันความสัมพันธ์ระหว่างตัวแปรอิสระ (X) และ ตัวแปรตาม (Y) ดังแสดงในสมการด้านล่าง

$$y_1 = f_1(x_1, x_2, x_3, x_4, x_5, x_6)$$

$$y_2 = f_2(x_1, x_2, x_3, x_4, x_5, x_6)$$

$$\vdots$$

$$y_6 = f_6(x_1, x_2, x_3, x_4, x_5, x_6)$$

ซึ่งสามารถเขียนอยู่ในรูปที่กระชับโดยใช้สัญลักษณ์แบบเวกเตอร์ได้ดังนี้

$$Y = F(X)$$

เมื่อทำการคำนวณหาอนุพันธ์ Y ที่เป็นฟังก์ชันของอนุพันธ์ของ X โดยใช้กฎลูกโซ่จากแคลคูลัส จะได้ว่า

$$\delta y_1 = \frac{\partial f_1}{\partial x_1} \delta x_1 + \frac{\partial f_1}{\partial x_2} \delta x_2 + \dots + \frac{\partial f_1}{\partial x_6} \delta x_6,$$

$$\delta y_2 = \frac{\partial f_2}{\partial x_1} \delta x_1 + \frac{\partial f_2}{\partial x_2} \delta x_2 + \dots + \frac{\partial f_2}{\partial x_6} \delta x_6,$$

$$\vdots$$

$$\delta y_6 = \frac{\partial f_6}{\partial x_1} \delta x_1 + \frac{\partial f_6}{\partial x_2} \delta x_2 + \dots + \frac{\partial f_6}{\partial x_6} \delta x_6,$$

หรือสามารถเขียนในรูปแบบเวกเตอร์ที่ง่ายขึ้นได้ดังนี้

$$\delta Y = \frac{\partial F}{\partial X} \delta X.$$

$$\text{หรือ} \quad \delta Y = J(X) \delta X.$$

ดังนั้น Jacobian จะเป็นความสัมพันธ์ระหว่างความเร็วของ Y เมื่อเทียบกับความเร็วของ X โดยที่ X อาจจะเป็นความเร็วเชิงมุมของแต่ละข้อต่อ และ Y ก็จะเป็นความเร็วเชิงเส้นของปลายแขนหุ่นยนต์

$$\dot{Y} = J(X) \dot{X}. \quad (2)$$

2.5) ระบบพลศาสตร์ (Dynamics)

พฤติกรรมทางพลศาสตร์ของแขนหุ่นยนต์จะถูกอธิบายในรูปแบบของอัตราการเปลี่ยนแปลงของเวลา ของท่าของแขนที่สัมพันธ์กับแรงบิดในแต่ละข้อต่อที่กระทำโดยมอเตอร์ ความสัมพันธ์นี้สามารถถูกแสดงด้วยชุดสมการเชิงอนุพันธ์ หรือที่เรียกว่าสมการการเคลื่อนที่ ที่ควบคุมการตอบสนองแบบพลศาสตร์ของแขนกลกับแรงบิดที่มาจากแต่ละข้อต่อ ระบบควบคุมจะถูกออกแบบบนพื้นฐานของสมการการเคลื่อนที่

ในปัจจุบันมีอยู่สองวิธีที่สามารถใช้เพื่อที่จะหาสมการการเคลื่อนที่ คือ 1. Newton - Euler formulation และ 2. Lagrangian formulation สมการ Newton - Euler formulation ได้มาโดยการตีความหมายโดยตรงของ กฎการเคลื่อนที่ข้อที่สองของ Newton ที่อธิบายด้วยระบบพลศาสตร์ในรูปแบบของแรงและโมเมนตัม สมการนี้จะรวมแรงทั้งหมดและโมเมนตัมที่กระทำบนก้าน โยงของแขน รวมถึงแรงและโมเมนตัมคู่ควบระหว่างก้าน โยงสมการที่ได้จากเทคนิค Newton - Euler นั้นจะรวมแรงปฏิกิริยาระหว่างข้อต่อที่ติดกันด้วย ดังนั้น การจัดรูปสมการทางคณิตศาสตร์จะต้องกระทำเพื่อกำจัดเทอมเหล่านี้ออกไปและให้ได้ความสัมพันธ์ที่ชัดเจนระหว่างแรงบิดในแต่ละข้อต่อและผลลัพธ์ของการเคลื่อนที่ในรูปแบบของการเคลื่อนที่ของแต่ละข้อต่อในทางกลับกัน Lagrangian formulation พฤติกรรมทางพลศาสตร์ของระบบถูกอธิบายในรูปแบบของงานและพลังงานโดยใช้พิกัดในรูปทั่วไป แรงที่ไม่ได้งานทั้งหมดและแรงปฏิกิริยา กำจัดออกไปโดยอัตโนมัติ สมการที่ได้โดยทั่วไปจะมีรูปแบบกระชับและแสดงออกในรูปแบบปิดในรูปแบบของ แรงบิดของข้อต่อและ การเคลื่อนที่ของข้อต่อ นอกจากนี้การคำนวณนั้นง่ายกว่าและเป็นระบบมากกว่าในวิธีการของ Newton-Euler สมการการเคลื่อนที่ของแขนหุ่นยนต์เป็นพื้นฐานของการอธิบายของความสัมพันธ์ระหว่างแรงบิดที่ป้อนให้กับระบบในแต่ละข้อต่อและผลของการเคลื่อนที่ เช่น การเคลื่อนที่ของก้าน โยงของแขน

2.5.1 ระบบพลศาสตร์แบบ Lagrangian Formulation

ในสมการ Newton - Euler formulation ของการเคลื่อนที่นั้น ได้มาจากกฎข้อที่สองของ Newton ซึ่งเป็นความสัมพันธ์ระหว่างแรงและโมเมนตัมและแรงบิด กับ โมเมนตัมเชิงมุม ผลลัพธ์ของสมการจะเกี่ยวข้องกับแรงปฏิกิริยา ที่ต้องถูกกำจัดออกไปเพื่อให้ได้สมการพลศาสตร์รูปแบบปิด ในเทคนิค Newton - Euler Formulation สมการจะไม่ถูกแสดงในรูปแบบของตัวแปรอิสระ และไม่รวมแรงบิดของแต่ละข้อต่อโดยตรง ดังนั้นการจัดรูปทางคณิตศาสตร์นั้นจำเป็นในเทคนิคนี้ เพื่อให้ได้มาซึ่งสมการพลศาสตร์ในรูปแบบปิด นี่เป็นการแสดงถึงกระบวนการที่ซับซ้อนซึ่งต้องใช้ความเข้าใจระบบพลศาสตร์อย่างลึกซึ้งมาก

อีกทางเลือกหนึ่ง นอกเหนือจากเทคนิค Newton - Euler Formulation ที่ประยุกต์ใช้กับระบบพลศาสตร์ของแขนหุ่นยนต์นั้นคือ เทคนิค Lagrangian Formulation ซึ่งเป็นเทคนิคที่อธิบายถึงพฤติกรรมของระบบพลศาสตร์ในรูปแบบของงานและพลังงานที่ถูกจัดเก็บในระบบ แทนที่จะพิจารณาแรงและโมเมนตัมของชิ้นส่วนแต่ละตัวที่เกี่ยวข้อง แรงปฏิกิริยาภายในระบบจะถูกกำจัดออกไปโดยอัตโนมัติในสมการพลศาสตร์ด้วยเทคนิคของ Lagrangian สมการพลศาสตร์ในรูปแบบปิดสามารถหาได้อย่างเป็นระบบ

กำหนดให้ q_1, \dots, q_n เป็นพิกัดทั่วไป ที่ระบุตำแหน่งระบบพลศาสตร์อย่างสมบูรณ์ โดยให้ T และ U เป็นผลรวมของพลังงานจลน์ทั้งหมด และ พลังงานศักย์ที่ถูกเก็บสะสมไว้ในระบบพลศาสตร์ทั้งหมด โดยจะกำหนดนิยามของฟังก์ชัน Lagrangian ด้วยสัญลักษณ์ L

$$L(q_i, \dot{q}_i) = T - U \quad (3)$$

โดยมีข้อสังเกตว่า เนื่องจากพลังงานจลน์จากการเคลื่อนไหวและพลังงานศักย์ทั้งหมดนั้น เป็นฟังก์ชันของ q_i และ \dot{q}_i , ($i = 1, \dots, n$) ดังนั้นฟังก์ชัน Lagrangian ก็จะขึ้นอยู่กับตัวแปร q_i และ \dot{q}_i ด้วยจะนั้นการใช้ฟังก์ชัน Lagrangian จะได้สมการของการเคลื่อนที่ของระบบพลศาสตร์ที่จะกำหนดด้วยสมการที่ (4)

$$\frac{d}{dt} \frac{\partial L(q_i, \dot{q}_i)}{\partial \dot{q}_i} - \frac{\partial L(q_i, \dot{q}_i)}{\partial q_i} = Q_i \quad i = 1, \dots, n \quad (4)$$

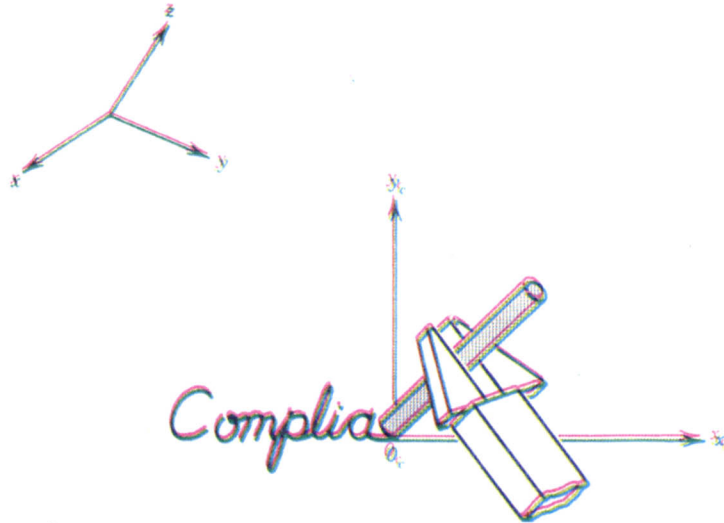
โดยที่ Q_i เป็นแรงในรูปทั่วไปที่สอดคล้องกับพิกัด q_i ในรูปทั่วไป ซึ่งแรงในรูปทั่วไปสามารถหาได้ด้วยการพิจารณาจากงานที่กระทำโดยแรงจากภายนอกที่กระทำบนระบบ

2.6) การควบคุมแรงและการเคลื่อนที่

ส่วนใหญ่ในปัจจุบันหุ่นยนต์อุตสาหกรรมจะถูกนำมาใช้ในงานพ่นสีและทาสี เคลื่อนย้ายวัตถุโดยการหยิบและวาง หรือ งานเชื่อมเฉพาะจุด ซึ่งงานที่กล่าวมาทั้งหมดนี้โดยทั่วไปจะสามารถดำเนินได้อย่างเพียงพอด้วยการควบคุมตำแหน่งการเคลื่อนที่แบบป้อนกลับอย่างง่ายงานที่ใช้แขนหุ่นยนต์ซึ่งเป็นที่ต้องการมากในปัจจุบัน เช่นงานเชื่อมพลาสติกหรืองานตัดด้วยเลเซอร์ นั้นต้องใช้ความสามารถในการควบคุมการเคลื่อนที่ตามเส้นทางที่ซับซ้อนมากขึ้นด้วยในปัจจุบันยังมีแขนหุ่นยนต์จำนวนมากที่มีความสามารถในการทำงานเช่นการขันสกรูหรือการหมุนประแจที่ดูเหมือนง่าย ๆ สำหรับมนุษย์การทำงานที่คล้ายกับมนุษย์ เช่นแขนหุ่นยนต์หยิบจับวัตถุที่เปราะบางหรือแม้แต่การประกอบรถยนต์ของเล่น นั้นแทบจะทำได้แม้ว่าจะใช้แขนหุ่นยนต์ที่ทันสมัยที่สุดการประกอบบนสายพานที่ใช้แขนหุ่นยนต์ยังคงเป็นเพียงงานทดลองในห้องปฏิบัติการมากกว่าที่จะนำมาประยุกต์ใช้ในโรงงานอุตสาหกรรมจริงอย่างเป็นที่แพร่หลาย

การควบคุมการเคลื่อนที่และแรงที่กระทำไปพร้อมๆกันมีความเกี่ยวข้องกับการควบคุมของหุ่นยนต์ให้มีการสัมผัสกับ “สิ่งแวดล้อม” หรือ ชิ้นส่วนที่จะนำมาประกอบ โดยแขนหุ่นยนต์หรือ รอยต่อเชื่อมที่ต้องการให้ต่อกัน และอื่น ๆ นอกจากนั้นแล้วการควบคุมการเคลื่อนที่และแรงไปพร้อมๆกันยังเป็นหัวข้องานวิจัยที่สำคัญในปัจจุบันยกตัวอย่างเช่นปัญหาของการเขียนด้วยแขนหุ่นยนต์บนกระดานดำดังแสดงในรูปที่ 3 การใช้การควบคุมเส้นทางเคลื่อนที่เพียงอย่างเดียวจะไม่สามารถประยุกต์ใช้ได้ถูกต้องเนื่องจากเวลาที่เกิดความผิดพลาดในทิศทางที่ตั้งฉากกับบอร์ดอาจจะส่งผลทำให้ซอล์คั้นนั้นไม่สัมผัสกับบอร์ด หรือในทางตรงกันข้ามซอล์ค้ออาจจะหักได้ถ้าแรงกดจากแขนหุ่นยนต์มากเกินไปดังนั้นในขณะที่มีการควบคุมเส้นทางเคลื่อนที่บนระนาบของบอร์ดเพื่อให้สามารถเขียนข้อความให้อ่านได้ จะต้องมีการควบคุมแรงกดในแนวตั้งฉากกับบอร์ดด้วย เพื่อให้ซอล์คั้นนั้นสัมผัสอยู่กับบอร์ดทุกขณะ มากกว่านั้นเราสามารถให้นิยามของกรอบของแรงที่กระทำ (หรือกรอบของงานที่แขนหุ่นยนต์จะไปสัมผัส) ซึ่งเป็นตัวบ่งชี้หรือเป็นการอธิบายลักษณะของผิวสัมผัสของชิ้นงานแบบง่าย ดังแสดงในรูปที่ 3 กรอบของแรงกระทำนั้นจะเป็นระบบพิกัดที่ตั้งฉากและเปลี่ยนแปลงตามเวลา ดังนั้นในทุกๆขณะและแต่ละทิศทาง งานจะสามารถ

ถูกอธิบายด้วยการควบคุมเส้นทางการเคลื่อนที่หรือการควบคุมแรงเพียงอย่างเดียวจึงจะเป็นไปตามเงื่อนไขทางธรรมชาติอยู่แล้วเนื่องจากไม่สามารถควบคุมตำแหน่งการเคลื่อนที่และแรงในทิศเดียวกันไปพร้อมๆกันได้ เช่นเดียวกับกับในระบบไฟฟ้าที่เราไม่สามารถควบคุมทั้งแรงดันไฟฟ้าไปพร้อมกับกระแสไฟฟ้าที่ผ่านตัวต้านทาน ในตัวอย่างการเขียนบนบอร์ดของเรา (ในรูปที่ 3) จุดปลายของแขนหุ่นยนต์จะย้ายไปยังด้านหน้าของกระดานดำด้วย 6 ทิศที่อิสระ (degree of freedom) ทั้งในตำแหน่ง/ทิศทาง และ โดยที่แรง/แรงบิดนั้นจะไม่เป็นอิสระเนื่องจากไม่มีที่มาของแรงปฏิกิริยาในทันทีที่ชอล์กสัมผัสกับบอร์ด 1 ทิศที่อิสระของตำแหน่งจะหายไปแต่จะได้มาซึ่ง 1 ทิศที่อิสระของแรงตามแนวแกน z_c ถ้าสมมติว่าชอล์กนั้นถูกตรึงหรือติดกาวไว้กับกระดาน จะไม่มีความที่อิสระทั้งในส่วน of ตำแหน่ง/ทิศทาง แต่จะมีทิศที่อิสระของแรง/แรงบิดทั้ง 6 แกนในทางตรงกันข้ามหากกระดานดำถูกแทนที่ด้วยพื้นผิวที่ "อ่อน" เรายังสามารถเลือกที่จะควบคุมตำแหน่งแทนที่จะควบคุมแรงตามแนวแกน z_c

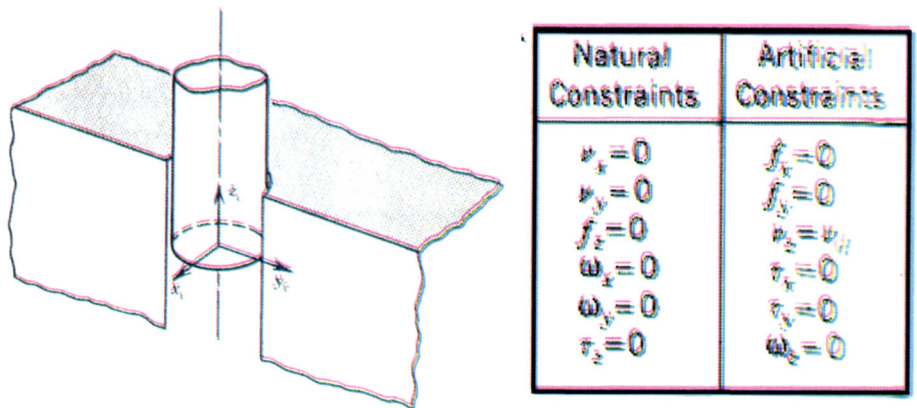


รูปที่ 2.3 ตัวอย่างการเขียนบนกระดานดำโดยแขนหุ่นยนต์ [2]

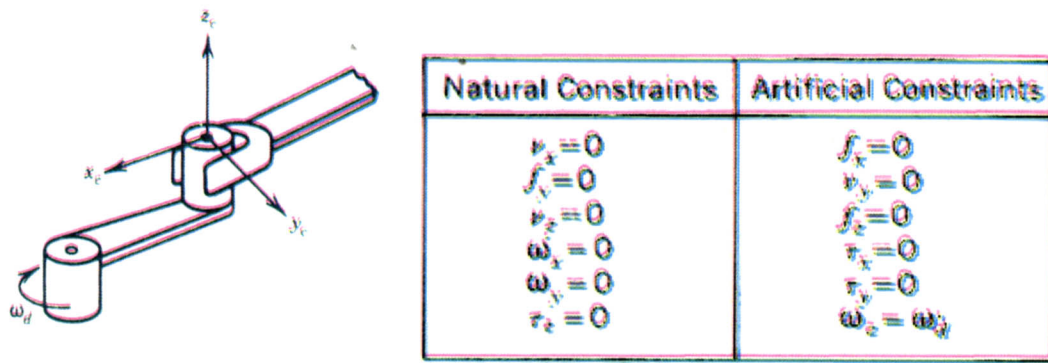
การเป็นคู่กันระหว่างการควบคุมตำแหน่งและการควบคุมแรงสามารถแสดงออกในรูปแบบของข้อจำกัดทางธรรมชาติและ ข้อจำกัดเทียมข้อจำกัดทางธรรมชาติของตำแหน่งหรือแรงถูกกำหนดด้วยรูปทรงเรขาคณิตของงานที่ถูกดำเนินการ ในตัวอย่างการเขียนบนกระดานดำ การมีกระดานดำนั้นแสดงถึงข้อจำกัดทางธรรมชาติในตำแหน่งตามทิศทางของแกน z_c มากกว่านั้นแล้วถ้าสมมติว่าการสัมผัสระหว่างชอล์กและกระดานดำนั้นไม่มีความฝืดหรือแรงเสียดทาน ข้อจำกัดทางธรรมชาติของแรงจะเกิดขึ้นตามแนวแกน x_c และ y_c เนื่องจากแรงในแนวสัมผัสต้องเป็นศูนย์ สามข้อจำกัดทางธรรมชาติเพิ่มเติมนี้จะแสดงถึงความจริงที่ว่าแรงบิดปฏิกิริยาที่ O_c นั้นไม่มี ดังนั้นแรงบิดรอบแกน x_c , y_c และ z_c ของกรอบของแรงที่กระทำต้องเป็นศูนย์ยิ่งกว่านั้นเส้นทางการเคลื่อนที่ที่ต้องการหรือแรงที่ระบุโดยผู้ใช้นั้นจะถูกนิยามเป็นข้อจำกัดเทียมที่เกี่ยวข้องกับงานที่กระทำในตัวอย่างการเขียนบนกระดานดำ ข้อจำกัดเทียมจะประกอบไปด้วยข้อความที่เขียน (ข้อจำกัดตามเส้นทางในแกน x_c และ y_c) และจากทิศทางที่ต้องการของปลายแขนหุ่นยนต์ข้อจำกัดของเทียมนั้นจะต้องเข้ากันได้กับข้อจำกัดของธรรมชาติเนื่องจากเราไม่สามารถควบคุมทั้งแรงและตำแหน่ง

ตามทฤษฎีอิสระไปพร้อมๆกันได้หรืออีกนัยหนึ่งตำแหน่งและแรงในแต่ละทิศทางจะถูกกำหนดโดยข้อจำกัดทางธรรมชาติหรือข้อจำกัดเทียมอย่างใดอย่างหนึ่งดังนั้นผลรวมของจำนวนของข้อจำกัดทางธรรมชาติและจำนวนของข้อจำกัดเทียมจะเท่ากับจำนวนของทฤษฎีอิสระของปริภูมิที่จำกัด (6 ทฤษฎีอิสระในปัญหาทั่วไป) โดยมีข้อสังเกตว่าในบางกรณีบางส่วนของข้อจำกัดทางธรรมชาติอาจจะถูกแสดงออกในรูปของข้อจำกัดเทียมหรือในสลับกัน เช่น ถ้าแรงเสียดทานระหว่างชอล์กและกระดานดำนั้นจำลองด้วยแรงเสียดทานแบบ coulomb แรงในแนวสัมผัสตามแกน x_c และ y_c นั้นขึ้นกับแรงในทิศตั้งฉากตามแกน z_c

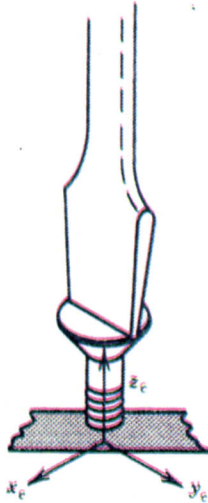
ในตัวอย่างการเขียนบนกระดานดำจุดกำเนิดของกรอบของแรงที่กระทำอยู่ที่จุด O_c ซึ่งจะถูกเลือกเป็นจุดสัมผัสระหว่างชอล์กและกระดานดำ งานที่เราต้องการสามารถอธิบายได้โดยการหาแรงสัมผัสที่ต้องการ (หรือช่วงของแรงสัมผัสที่ยอมรับหรือเป็นไปได้) ในทิศตามแนวแกน z_c โดยในขณะเดียวกันก็ทำการรักษาตำแหน่งในแกน x_c และ y_c ให้อยู่ที่จุดศูนย์ ในอีกนัยหนึ่งทิศทางที่ต้องการถูกอธิบายด้วยคุณลักษณะของการเคลื่อนที่ของจุดกำเนิดที่จุด O_c ของของแรงที่กระทำ ทางเลือกของกรอบของแรงที่กระทำโดยทั่วไปจะขึ้นอยู่กับงานที่เฉพาะเจาะจงที่จะดำเนินการ ตัวอย่างของชนิดของงานและตัวเลือกที่เป็นไปได้ของกรอบของแรงที่กระทำนั้นถูกแสดงอยู่ในรูปที่ 4-6 พร้อมกับข้อจำกัดทางธรรมชาติและข้อจำกัดเทียมที่เกี่ยวข้องกับงานนั้นๆ พิกัดเวกเตอร์นั้นถูกอธิบายในกรอบของแรงที่กระทำจะเรียกว่าเป็นพิกัดพื้นที่การทำงาน



รูปที่ 2.4 ตัวอย่างการสอดหมุดเข้าไปในหลุมด้วยความเร็วที่ต้องการเท่ากับ v_d [2]



รูปที่ 2.5 ตัวอย่างการหมุนด้ามจับด้วยความเร็วเชิงมุมที่ต้องการเท่ากับ ω_d [2]



Natural Constraints	Artificial Constraints
$v_x = 0$ $v_y = 0$ $f_z = 0$ $\omega_x = 0$ $\omega_y = 0$ $\tau_z = 0$	$f_x = 0$ $v_y = 0$ $v_z = p\omega_d$ $\tau_x = 0$ $\tau_y = 0$ $\omega_z = \omega_d$

รูปที่ 2.6 ตัวอย่างการขันน็อตด้วยความเร็วเชิงมุมที่ต้องการเท่ากับ ω_d [2]

สองเทคนิคสำหรับการควบคุมการเคลื่อนที่และแรงที่กระทำที่กล่าวถึงนี้ คือ การควบคุมความต้านทาน และการควบคุมไดนามิกแบบไฮบริด ในเทคนิคแรกคือการควบคุมความต้านทานนั้นจะไม่ได้กำหนดคุณลักษณะของแรงหรือตำแหน่งที่ต้องการ แต่จะกำหนดการความสัมพันธ์ทางพลศาสตร์ที่ต้องการระหว่างแรงและตำแหน่ง หรืออีกนัยหนึ่งคือความยืดหยุ่นเชิงกล หรือ “ความต้านทาน” ซึ่งเทคนิคนี้จะเป็นวิธีที่ง่ายและสามารถทนทานต่อความไม่แน่นอนของตัวแปรในระบบแต่ส่วนใหญ่จะถูกจำกัดให้มีการเคลื่อนไหวที่ค่อนข้างช้าในเทคนิคที่สองคือการควบคุมไดนามิกแบบไฮบริดเทคนิคนี้ประกอบด้วย การเขียนสมการพลศาสตร์ของแขนหุ่นยนต์โดยตรงในรูปแบบของฟังก์ชันของปลายแขนหุ่นยนต์ (หรือฟังก์ชันดำเนินการ) แทนฟังก์ชันการเคลื่อนที่ในแต่ละข้อต่อ q และจากนั้นสามารถควบคุมตำแหน่ง แรง หรือความต้านทานเชิงกลตามแต่ละแกนของกรอบแรงที่กระทำถึงแม้ว่าเทคนิคนี้จะต้องใช้สมการพลศาสตร์แขนหุ่นยนต์เต็มรูปแบบในทุกๆ ความเร็วการควบคุมไดนามิกแบบไฮบริดทางอุดมคติแสดงปัญหาความทนทานที่เกิดขึ้นคล้ายกับวิธีการคำนวณแรงบิดอย่างหนึ่งที่ว่าโดยทั่วไปสมการพลศาสตร์เป็นสิ่งสำคัญที่เกี่ยวข้องกับปริมาณของงานมากกว่าปริมาณของข้อต่อ ดังนั้นเทคนิคจึงเหมาะสมที่สุดสำหรับหุ่นยนต์ที่มีสมการพลศาสตร์แบบง่ายหรือที่ความเร็วค่อนข้างต่ำสำหรับหุ่นยนต์ที่มีแรงโน้มถ่วงและแรงเสียดทานสำคัญในสมการพลศาสตร์ โดยทั่วไปการควบคุมการเคลื่อนที่และแรงที่กระทำแสดงความลักษณะที่ทนทาน โดยเฉพาะในปัญหาที่เชื่อมโยงกับผลกระทบที่สำคัญ เช่น แรงเสียดทาน ความยืดหยุ่นของข้อต่อและก้านโยง และการคลอนตัวของ การส่งผ่านกำลังของเกียร์

2.7) การควบคุมความยืดหยุ่นแบบ Passive

เพื่อแก้ปัญหาคาจรชยบนกระดานดำในส่วนก่อนหน้าี้ เทคนิคนี้เป็นไปได้เมื่อปลายแขนหุ่นยนต์นั้นจะมีอุปกรณ์เชิงกลที่ประกอบด้วยสปริง และ โช้ค ติดอยู่เพื่อหุ่นยนต์จะได้รักษาทิศทางที่เหมาะสมกับ



ชิ้นงาน คล้ายกับงานของ Drake ในปี 1977 ที่ได้แสดงการใช้แขนหุ่นยนต์ที่ติดกับอุปกรณ์เชิงกลที่มีความยืดหยุ่นเชิงเส้นและเชิงมุมที่น้อยเพื่อใช้ในการสอดแท่งโลหะเข้าไปในรู อุปกรณ์เชิงกลแบบ Passive นี้เป็นที่รู้จักกันในชื่อว่า RCC (Remote Center Compliance) โดยอาศัยหลักการบนพื้นฐานและการสังเกตที่ว่า "การ" คึง" วัตถุลงในหลุมนั้นง่ายกว่าการจะ" ค้น" วัตถุลงในหลุม ในรูปแบบทางเทคนิคอุปกรณ์เชิงกลแบบ RCC สามารถทำให้จุดศูนย์กลางแรงนั้นย้ายไปอยู่ที่จุดปลายของแท่งโลหะ โดยที่นิยามของจุดศูนย์กลางแรงนั้นจะเป็นจุดที่แรงกระทำเชิงเส้นจะทำให้เกิดเฉพาะการเคลื่อนที่ในแนวเชิงเส้นเท่านั้น ในขณะที่แรงบิดที่กระทำที่จุดศูนย์กลางแรงจะทำให้เกิดการหมุนรอบจุดนั้นเพียงอย่างเดียว เมื่อจุดศูนย์กลางแรงกระทำเกิดขึ้น (หรือ ถูกสร้างให้เกิดขึ้น) มันก็จะเป็นตัวเลือกทางธรรมชาติที่จะใช้เป็นจุดศูนย์กลางของกรอบของแรงที่กระทำ โดยจะให้เป็นจุดที่เรียกว่าจุด O_c

อุปกรณ์เชิงกลแบบ Passive ดังเช่น RCC จะสามารถให้ผลการตอบสนองได้แบบรวดเร็วและเป็นอุปกรณ์ที่มีราคาไม่แพงนักถึงอย่างไรก็ตามการประยุกต์ใช้งานอุปกรณ์เหล่านี้จะถูกจำกัดกับงานที่เฉพาะเจาะจงมาก เช่น อุปกรณ์เชิงกลแบบ RCC สามารถประยุกต์ใช้ได้กับแท่งโลหะที่มีขนาดความยาวจำกัด และมีองศาการหมุนเมื่อเทียบกับปลายแขนหุ่นยนต์ในบางทิศทางเท่านั้นแต่ในส่วนของอุปกรณ์แบบ active ที่ต้องใช้การ โปรแกรมจะช่วยให้แขนหุ่นยนต์สามารถประยุกต์ใช้ได้กับชิ้นส่วนประเภทต่างๆหรือ จะสามารถเปลี่ยนแปลงของลักษณะการยึดหยุ่นของปลายแขนหุ่นยนต์ตามขั้นตอนต่างๆในการประกอบชิ้นงาน

โดยทั่วไปแล้ว ความยืดหยุ่นของปลายแขนหุ่นยนต์จะขึ้นอยู่กับความยืดหยุ่นของเซอร์โวมอเตอร์ ในข้อต่อ ความยืดหยุ่นทางกลของแต่ละข้อต่อ และ รวมถึงความยืดหยุ่นของก้าน โยงด้วย ในทางกลับกัน เราจะสามารถคำนวณหาความยืดหยุ่นในแต่ละข้อต่อเพื่อที่จะให้ได้ความยืดหยุ่นของจุดปลายแขนหุ่นยนต์ตามที่ต้องการ ความยืดหยุ่นในแต่ละข้อต่อที่ต้องการนี้สามารถที่จะทำได้โดยการใช้ออกแบบตัวควบคุมที่เหมาะสม

ในส่วนนี้ เราจะสมมุติว่าผลกระทบของความยืดหยุ่นทางกลของแต่ละข้อต่อ และความยืดหยุ่นของก้าน โยงสามารถไม่ต้องนำมาพิจารณาได้มาพิจารณาปัญหาของการบรรลุความยืดหยุ่นของปลายแขนหุ่นยนต์โดยการ โปรแกรมที่ต้องการของปลายแขนหุ่นยนต์ลักษณะความยืดหยุ่นที่ต้องการสามารถอธิบายได้โดยเมทริกซ์ความยืดหยุ่น K_p ที่ถูกแสดงในปริภูมิของงานที่กระทำแรง F ที่จะผลักดันให้ปลายแขนหุ่นยนต์กลับไปยังตำแหน่งที่ต้องการสามารถสร้างขึ้นที่ปลายแขนหุ่นยนต์ในการตอบสนองการเคลื่อนที่ δx ขนาดเล็กจากตำแหน่ง x_d ที่ต้องการหรือตำแหน่งปกติจะถูกนิยามเป็น

$$F = -K_p \delta x \quad (5)$$

โดย F , K_p และ δx นั้นจะถูกแสดงในพิกัดของพื้นที่การทำงาน เมทริกซ์ K_p ที่ถูกกำหนดให้เป็นบวก โดยทั่วไปจะถูกเลือกให้เป็นแบบทแยงมุมและ K_p ประกอบด้วยความยืดหยุ่นที่ต่ำในทิศทางของปริภูมิของงานที่กระทำซึ่งต้องการควบคุมความยืดหยุ่น และ K_p ประกอบด้วยความยืดหยุ่นที่มาก (จำกัดโดยช่วงความถี่ที่สามารถควบคุมได้ที่มีอยู่เท่านั้น) สำหรับทิศทางของที่ต้องการควบคุมตำแหน่งการเคลื่อนที่ซึ่งแรง

ที่จะผลักให้ปลายแขนหุ่นยนต์กลับไปยังตำแหน่งที่ต้องการ(5) สามารถทำได้จริงโดยการใช้แรงบิดในแต่ละข้อต่อ

$$\tau = J^T F \quad (6)$$

โดย J เป็น Jacobian ของแขนหุ่นยนต์โดยที่ Jacobian จะถูกแสดงในปริภูมิของงานที่กระทำ และจะแสดงความสัมพันธ์ระหว่างระยะการเคลื่อนที่กับการเคลื่อนที่ของข้อต่อ

$$\delta x = J \delta q \quad (7)$$

ดังนั้นสมการ (6) และ (7) สามารถจะเขียนใหม่ได้เป็น

$$\tau = -(J^T K_p J) \delta q \quad (8)$$

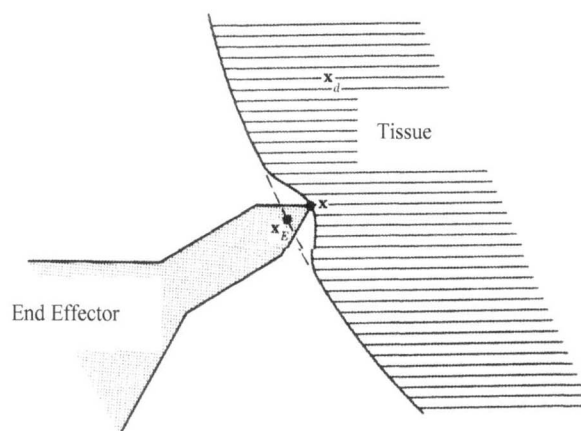
เทอม $K_q := J^T K_p J$ ในสมการ (8) จะถูกเรียกว่า “เมทริกซ์ความยืดหยุ่นของข้อต่อ” สมการที่ (8) นี้จะช่วยให้เราสามารถแสดงความสัมพันธ์ของความยืดหยุ่นของงานที่กระทำระหว่าง แรงบิด τ ในข้อต่อ และการเคลื่อนที่ของข้อต่อ q ซึ่งเป็นตัวแปรที่เกี่ยวข้องโดยตรงกับระบบการควบคุมเมทริกซ์ความยืดหยุ่นของข้อต่อ K_q จะไม่มีรูปแบบทแยงมุมหรือ อีกนัยหนึ่งความยืดหยุ่นของจุดปลายแขนที่ต้องการที่ตำแหน่งใดๆ สามารถควบคุมได้โดยการเปลี่ยนแปลงแรงบิดคนแต่ละข้อต่อให้สัมพันธ์กันอย่างที่เหมาะสม สำหรับการตอบสนองที่ทำให้เกิดการเคลื่อนที่ขนาดเล็กของจุดปลายแขนหุ่นยนต์ แม้ว่า K_q ก็ไม่สามารถคำนวณหาได้เมื่อแขนหุ่นยนต์เข้าถึงจุดเอกพจน์หรือเมื่อแขนหุ่นยนต์เข้าถึงบริเวณขอบเขตการทำงานซึ่งจะสื่อว่าการควบคุมความยืดหยุ่นแบบ active นั้นไม่สามารถกระทำได้ในทุกทิศทาง หรือ แขนหุ่นยนต์ไม่สามารถออกแรงการทำงานได้ในทุกทิศทาง

เมทริกซ์ Jacobian ใน (7) และ (8) สามารถถูกคำนวณที่จุดใดๆของปลายแขนหุ่นยนต์ (หรือแม้กระทั่งที่จุดใด ๆ อยู่นิ่งเมื่อเทียบกับปลายแขนหุ่นยนต์) ดังนั้นเราไม่เพียงแต่จะระบุทิศทางที่ตั้งฉาก(หรือตามทิศทางหลักของความยืดหยุ่น) เพื่อให้ได้ความยืดหยุ่นที่ต้องการ แต่ยังสามารถควบคุมตำแหน่งของจุดที่แรงมากกระทำให้อยู่ที่จุดใดก็ได้ในปลายแขนหุ่นยนต์ความสามารถนี้จะมีประโยชน์อย่างมากสำหรับงานการประกอบชิ้นงานเนื่องจากมันช่วยให้เราย้ายจุดที่แรงมากกระทำ (ให้เป็นจุดศูนย์กลางของพิกัดที่คำนวณหาแรง) ไปยังตำแหน่งใดก็ได้พร้อมๆกับระบุทิศทางหลักของความยืดหยุ่น (ให้อ่อนในแนวเดียวกันกับพิกัดของแรงที่กระทำ)และ ให้ได้ความยืดหยุ่นที่ต้องการอีกด้วย

2.8) การควบคุมความต้านทานแบบ active

การควบคุมความต้านทานเป็นการพัฒนาต่อเนื่องจากการควบคุมความยืดหยุ่นดังที่กล่าวในหัวข้อ 2.7 ที่สามารถประยุกต์ใช้กับการเคลื่อนที่ในปริภูมิของงานขนาดใหญ่:

$$\dot{\tilde{x}} := \dot{x} - \dot{x}_d \quad (9)$$



รูปที่ 2.7 ความยืดหยุ่นของเนื้อเยื่อเมื่อสัมผัส โดยแขนหุ่นยนต์ [2]

ซึ่งจะประกอบด้วย การควบคุมการโต้ตอบแบบพลศาสตร์ระหว่างแขนหุ่นยนต์และสภาพแวดล้อมโดยตรง ในปริภูมิของงาน โดยการใช้กฎในควบคุมซึ่งอธิบายดังนี้

$$\tau = \hat{g}(q) - J^T(q) [K_p \tilde{x} + K_D \dot{\tilde{x}}] \quad (10)$$

โดยที่ $\hat{g}(q)$ คือค่าประมาณของแรงบิดที่เกิดจากแรงโน้มถ่วง และ $J(q)$ คือ Jacobian ของแขนหุ่นยนต์ เวกเตอร์การเคลื่อนที่ \tilde{x} และเมทริกซ์ J^T และ K_p โดยทั่วไปจะแสดงออกโดยตรงในฟังก์ชันของงานที่กระทำ เมทริกซ์ K_p และ K_D ใน (10) สามารถตีความเป็น “ความยืดหยุ่น” และ “การสูญเสียพลังงาน” ของแขนหุ่นยนต์ที่เทียบกับสภาพแวดล้อมของแรงของปริภูมิงานที่กระทำ $-[K_p \tilde{x} + K_D \dot{\tilde{x}}]$ ถูกเปลี่ยนไปอยู่ในฟังก์ชันของเวกเตอร์แรงบิดโดยการใช้ $J^T(q)$ ตามที่ (10) จากความสัมพันธ์ที่ (10) การควบคุมความต้านทานจะกระทำให้อุณหภูมิของแรงที่กระทำมาอยู่ในตำแหน่งอ้างอิง x_d

การควบคุมความต้านทานในสมการ (10) จะเชื่อมความสัมพันธ์แบบพลศาสตร์ระหว่างแรงและตำแหน่ง แทนที่จะเป็นการควบคุมแรงหรือตำแหน่งโดยตรง ซึ่งเทคนิคนี้มีคุณลักษณะข้อดี คือความเรียบง่ายและทนทานต่อตัวแปรความไม่แน่นอนภายนอก (ยกเว้นผลกระทบของแรงโน้มถ่วง) และมีข้อบกพร่อง โดยเฉพาะประสิทธิภาพทางพลศาสตร์

ประเภทของเนื้อเยื่อมีความสำคัญต่อแรงที่แขนหุ่นยนต์จะกระทำบนเนื้อเยื่อ โดยเฉพาะอย่างยิ่งในเรื่องของความยืดหยุ่นและการคืนรูปของเนื้อเยื่อ และ รวมไปถึงผิวสัมผัส [2] ดังในรูปที่ 7 ดังนั้นในการจำลองการผ่าตัดจะต้องคำนึงถึงเรื่อง แรงเสียดทานบนผิวสัมผัสระหว่างใบมีดกับเนื้อเยื่อและความคมของใบมีดและความเร็วในการเคลื่อนที่ของใบมีดที่ติดกับแขนหุ่นยนต์ สำหรับเนื้อเยื่อแต่ละชนิดที่มีความยืดหยุ่นต่างกัน เพื่อให้ได้ผลที่มีขนาดเล็กและไม่ทำลายเนื้อเยื่อรอบข้าง เพราะฉะนั้น ปลายแขนหุ่นยนต์จะต้องถูกควบคุมทั้งเส้นทางการเคลื่อนที่และแรงทั้งในแนวตั้งฉากไปพร้อมกัน